



Raport

z badań poziomu natężenia pola elektrycznego
w otoczeniu stacji bazowej:

PIA4402

na podstawie sprawozdania 105/10/OŚ/2022 - P4 - W udostępnionego przez Laboratorium EMVO
Spółka Jawna Urbański, Pawelak

Laboratorium prowadzące badania

Laboratorium EMVO Spółka Jawna
Urbański, Pawelak
ul. Żabi Kruk 16
80-822 Gdańsk
58 321 76 54
laboratorium@emvo.pl

Zleceniodawca badań

P4 Sp. z o.o.

02-677 Warszawa
790 500 500
kontakt@play.pl

Nr akredytacji: AB 1630

Data wydania sprawozdania: 27.10.2022

Raport zawiera wybrane elementy sprawozdania i służy wyłącznie obrazowemu przedstawieniu informacji o danej instalacji. Raport nie może być wykorzystywany w postępowaniach administracyjnych.

Informacje ogólne

Zgodność z metodyką RMK: Tak

Ograniczenia: Na podstawie art. 122a ust. 1b ustawy Prawo ochrony środowiska (t.j. Dz.U. z 2020 r., poz. 1219, 1378, 1565, 2127, 2338, z 2021 r. poz. 802, 868, 1047, 1162, 1535.), pomiary PEM w lokalach mieszkalnych i użytkowych zlokalizowanych w obszarze pomiarowym badanej stacji bazowej nie zostały przeprowadzone.

Wykorzystanie w obszarze regulowanym: Tak

Przedmiot badań

Identyfikator stacji w UKE	PIA4402
Operator	P4 Sp. z o.o.
Współrzędne	21,0422222; 52,0252778
Rodzaj pracy	ciągła
Rodzaj wytwarzanego pola	stacjonarne

Miejsce badań

Otoczenie stacji bazowej PIA4402 w lokalizacji Zalesie Górne, Młodych Wilcząt.

Cel badań

1. Zweryfikowanie zgodności z wymaganiami rozporządzenia Ministra Zdrowia z dnia 19 grudnia 2019 r.

Opis stacji bazowych

Tabela 1: Opis anten badanych stacji bazowych

Lp.	Identyfikator stacji w UKE	Typ Producent anteny	Azymut	H	EIRP	Pasmo	Tilt	Tilt w trakcie pomiarów
			[°]	[m]	[W]	[MHz]	[°]	[°]
1	PIA4402	ATR4518R6v06 Huawei	60	43,00	12252*	LTE 800 LTE 2600	0,0 - 7,0 0,0 - 7,0	3,5 3,5
2		ATR4518R6v06 Huawei	60	43,00	19910*	UMTS 900 LTE 1800 LTE 2100	0,0 - 7,0 0,0 - 7,0 0,0 - 7,0	3,5 3,5 3,5
3		ATR4518R6v06 Huawei	190	43,00	12252*	LTE 800 LTE 2600	0,0 - 7,0 0,0 - 7,0	3,5 3,5
4		ATR4518R6v06 Huawei	190	43,00	19910*	UMTS 900 LTE 1800 LTE 2100	0,0 - 7,0 0,0 - 7,0 0,0 - 7,0	3,5 3,5 3,5
5		ATR4518R6v06 Huawei	300	43,00	12252*	LTE 800 LTE 2600	0,0 - 7,0 0,0 - 7,0	3,5 3,5
6		ATR4518R6v06 Huawei	300	43,00	19910*	UMTS 900 LTE 1800 LTE 2100	0,0 - 7,0 0,0 - 7,0 0,0 - 7,0	3,5 3,5 3,5

* moc EIRP łączna dla wszystkich częstotliwości anteny

Warunki pomiarów

Pomiary w wyznaczonych punktach wykonano w następujących warunkach:

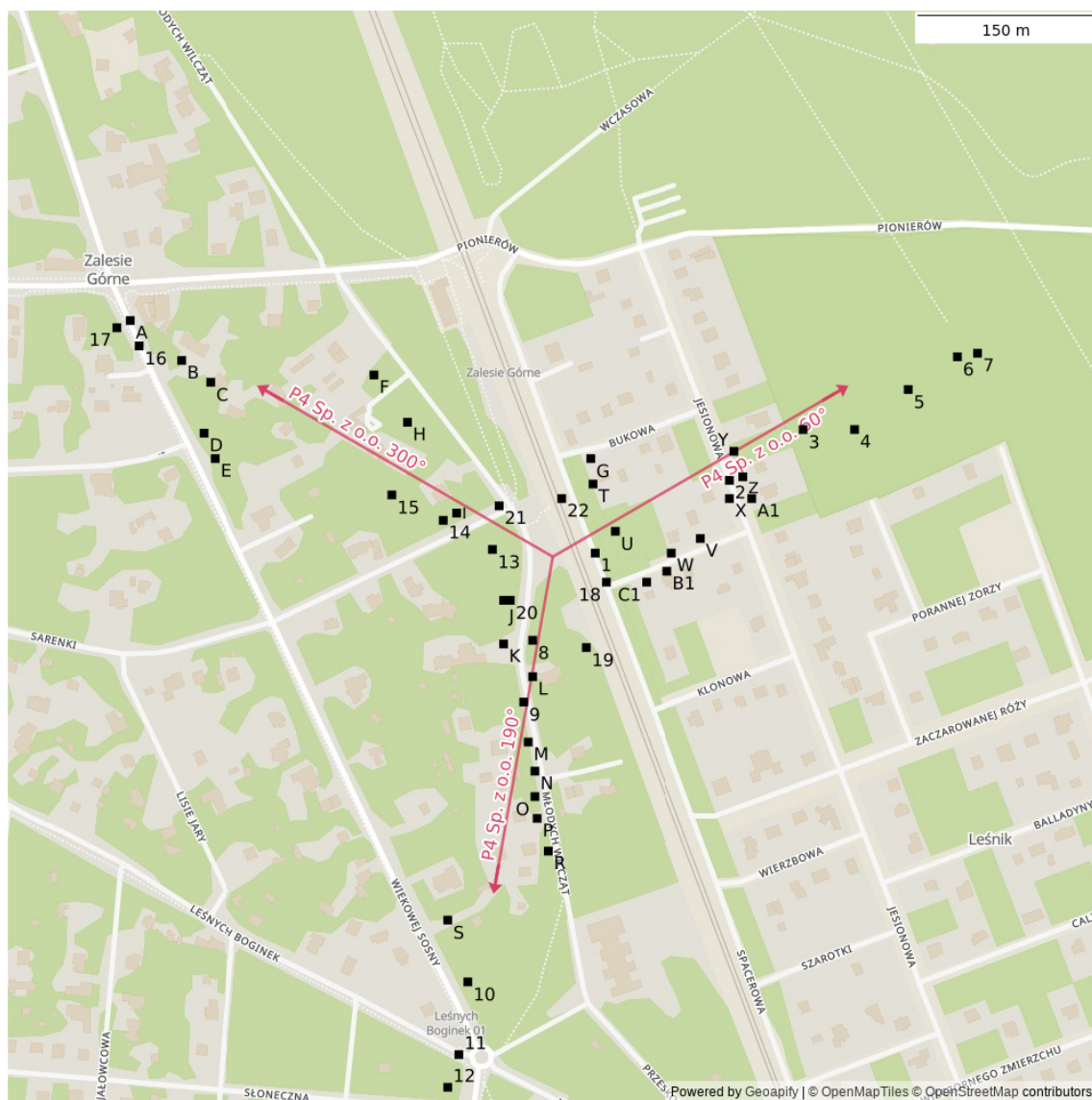
26.10.2022 12:30-16:10			
Warunki środowiskowe	Temperatura [°C]	Wilgotność [%]	Opady
Minimalna	13,0	74,8	brak
Maksymalna	13,0	74,9	

Aparatura

Tabela 2: Aparatura

MIERNIKI I SONDY					
Lp.	Typ / Nazwa	Model	Producent	Próg detekcji	Świadectwo wzorcowania
1a	miernik	NBM 520	Narda		LWiMP/W/081/21 z dn. 18.03.2021 wydane przez Laboratorium Wzorców i Metrologii Pola Elektromagnetycznego, Instytut Telekomunikacji, Teleinformatyki i Akustyki Politechniki Wrocławskiej
1b	sonda	EF 9091	Narda	0,80	

Lokalizacje pionów pomiarowych



Rysunek 1: Plan terenu

Wyniki pomiarów szerokopasmowych

Tabela 3: Zestawienie lokalizacji pionów pomiarowych oraz wyników pomiarów natężenia pola elektrycznego, pomiary szerokopasmowe

Nazwa	Data	Współrzędne geograficzne	E	WM _E	H	WM _H
		[°]	[$\frac{V}{m}$]		[$\frac{A}{m}$]	
1	26.10.2022	21,0427500 52,0253056	2,08	0,074	0,006	0,076
2	26.10.2022	21,0444167 52,0258611	1,92	0,069	0,005	0,070
3	26.10.2022	21,0453333 52,0262500	< 1,28	< 0,046	< 0,003	< 0,047

Ciąg dalszy na następnej stronie

Tabela 3: Zestawienie lokalizacji pionów pomiarowych oraz wyników pomiarów natężenia pola elektrycznego, pomiary szerokopasmowe (c.d.)

Nazwa	Data	Współrzędne geograficzne	E	WM _E	H	WM _H
		[°]	[$\frac{V}{m}$]		[$\frac{A}{m}$]	
4	26.10.2022	21,0459722 52,0262500	< 1,28	< 0,046	< 0,003	< 0,047
5	26.10.2022	21,0466389 52,0265556	1,28	0,046	0,003	0,047
6	26.10.2022	21,0472500 52,0268056	< 1,28	< 0,046	< 0,003	< 0,047
7	26.10.2022	21,0475000 52,0268333	< 1,28	< 0,046	< 0,003	< 0,047
8	26.10.2022	21,0419722 52,0246389	2,24	0,080	0,006	0,081
9	26.10.2022	21,0418611 52,0241667	2,08	0,074	0,006	0,076
10	26.10.2022	21,0411667 52,0220278	1,44	0,051	0,004	0,052
11	26.10.2022	21,0410556 52,0214722	1,76	0,063	0,005	0,064
12	26.10.2022	21,0409167 52,0212222	1,60	0,057	0,004	0,058
13	26.10.2022	21,0414722 52,0253333	1,76	0,063	0,005	0,064
14	26.10.2022	21,0408611 52,0255556	1,92	0,069	0,005	0,070
15	26.10.2022	21,0402222 52,0257500	< 1,28	< 0,046	< 0,003	< 0,047
16	26.10.2022	21,0370833 52,0268889	< 1,28	< 0,046	< 0,003	< 0,047
17	26.10.2022	21,0368056 52,0270278	< 1,28	< 0,046	< 0,003	< 0,047
18	26.10.2022	21,0428889 52,0250833	1,76	0,063	0,005	0,064
19	26.10.2022	21,0426389 52,0245833	< 1,28	< 0,046	< 0,003	< 0,047
20	26.10.2022	21,0416944 52,0249444	1,60	0,057	0,004	0,058
21	26.10.2022	21,0415556 52,0256667	1,76	0,063	0,005	0,064
22	26.10.2022	21,0423333 52,0257222	1,28	0,046	0,003	0,047
A	26.10.2022	21,0369722 52,0270833	< 1,28	< 0,046	< 0,003	< 0,047
B	26.10.2022	21,0376111 52,0267778	1,28	0,046	0,003	0,047

ciąg dalszy na następnej stronie

Tabela 3: Zestawienie lokalizacji pionów pomiarowych oraz wyników pomiarów natężenia pola elektrycznego, pomiary szerokopasmowe (c.d.)

Nazwa	Data	Współrzędne geograficzne	E	WM _E	H	WM _H
		[°]	[$\frac{V}{m}$]		[$\frac{A}{m}$]	
C	26.10.2022	21,0379722 52,0266111	< 1,28	< 0,046	< 0,003	< 0,047
D	26.10.2022	21,0378889 52,0262222	< 1,28	< 0,046	< 0,003	< 0,047
E	26.10.2022	21,0380278 52,0260278	< 1,28	< 0,046	< 0,003	< 0,047
F	26.10.2022	21,0400000 52,0266667	1,44	0,051	0,004	0,052
G	26.10.2022	21,0426944 52,0260278	< 1,28	< 0,046	< 0,003	< 0,047
H	26.10.2022	21,0404167 52,0263056	1,44	0,051	0,004	0,052
I	26.10.2022	21,0410278 52,0256111	1,60	0,057	0,004	0,058
J	26.10.2022	21,0416111 52,0249444	1,92	0,069	0,005	0,070
K	26.10.2022	21,0416111 52,0246111	2,08	0,074	0,006	0,076
L	26.10.2022	21,0419722 52,0243611	1,76	0,063	0,005	0,064
M	26.10.2022	21,0419167 52,0238611	2,24	0,080	0,006	0,081
N	26.10.2022	21,0420000 52,0236389	1,60	0,057	0,004	0,058
O	26.10.2022	21,0420000 52,0234444	1,28	0,046	0,003	0,047
P	26.10.2022	21,0420278 52,0232778	< 1,28	< 0,046	< 0,003	< 0,047
R	26.10.2022	21,0421667 52,0230278	< 1,28	< 0,046	< 0,003	< 0,047
S	26.10.2022	21,0409167 52,0225000	< 1,28	< 0,046	< 0,003	< 0,047
T	26.10.2022	21,0427222 52,0258333	1,44	0,051	0,004	0,052
U	26.10.2022	21,0430000 52,0254722	1,92	0,069	0,005	0,070
W	26.10.2022	21,0436944 52,0253056	1,60	0,057	0,004	0,058
V	26.10.2022	21,0440556 52,0254167	1,44	0,051	0,004	0,052
X	26.10.2022	21,0444167 52,0257222	1,28	0,046	0,003	0,047

Ciąg dalszy na następnej stronie

Tabela 3: Zestawienie lokalizacji pionów pomiarowych oraz wyników pomiarów natężenia pola elektrycznego, pomiary szerokopasmowe (c.d.)

Nazwa	Data	Współrzędne geograficzne	E	WM _E	H	WM _H
		[°]	[$\frac{V}{m}$]		[$\frac{A}{m}$]	
Y	26.10.2022	21,0444722 52,0260833	1,92	0,069	0,005	0,070
Z	26.10.2022	21,0445833 52,0258889	1,92	0,069	0,005	0,070
A1	26.10.2022	21,0446944 52,0257222	1,60	0,057	0,004	0,058
B1	26.10.2022	21,0436389 52,0251667	< 1,28	< 0,046	< 0,003	< 0,047
C1	26.10.2022	21,0433889 52,0250833	1,28	0,046	0,003	0,047

Podsumowanie

Na podstawie wyników pomiarów pola elektromagnetycznego przedstawionych w niniejszym raporcie o nr 105/10/OŚ/2022 - P4 - W opracowanym przez Laboratorium EMVO Spółka Jawna Urbański, Pawelak stwierdza się, że w otoczeniu stacji bazowej PIA4402 dopuszczalne poziomy pól elektromagnetycznych w środowisku, określone w przepisach wydanych na podstawie art. 122 ust. 1 ustawy z dnia 27 kwietnia 2001 r. – Prawo ochrony środowiska uznaje się za **dotrzymane**. Udokumentowano, że w żadnym pionie pomiarowym wartości wskaźnikowe WM_E oraz WM_H nie przekroczyły 1.

Osoby odpowiedzialne

Wykonanie pomiarów: b.d.

Opracowanie sprawozdania: b.d.

Autoryzacja sprawozdania: Andrzej Urbański (Kierownik Laboratorium)